

OSRIL. 6221. 9. 2026

Warszawa, dn. 2026-04-17

T-Mobile Polska S.A.
ul. Marynarska 12
02-674 Warszawa

Pełnomocnik: Paulina Ciesielska
Pełnomocnictwo numer: 162/01/21
z dnia: 2021-01-13

dane do korespondencji:

NetWorks Sp. z o.o.

ul. Abpa Baraniaka 6

61-131 Poznań

tel. 538897717

AE:PL-75331-40483-VAGTH-20

Starosta Powiatu Łódzkiego
Starostwo Powiatowe w Łodzi
ul. Sienkiewicza 3
90-954 Łódź
AE:PL-30504-49193-BEISW-29

Dotyczy: ustawowego obowiązku, wynikającego z art. 152 ust. 1 i ust. 7 w związku z ust. 6 pkt 1c ustawy z dnia 27 kwietnia 2001r – Prawo ochrony środowiska (Dz.U. 2024 poz. 54).

Działając z upoważnienia T-Mobile Polska S.A. z siedzibą ul. Marynarska 12, 02-674 Warszawa, **informuję o zmianie danych w zakresie wielkości i rodzaju emisji** dla instalacji radiokomunikacyjnej **28012 (90020N!) WLD_KOLUSZKI_11LISTOPADA65** zlokalizowanej w miejscowości KOLUSZKI, ul. 11 LISTOPADA 65. W stosunku do informacji zawartej w zgłoszeniu realizowanym dla tej instalacji w trybie art. 152 ust. 1 i 5 ustawy z dnia 27 kwietnia 2001r – Prawo ochrony środowiska (Dz.U. 2024 poz. 54), dane ulegają zmianie w następujący sposób:

9. Wielkość i rodzaj emisji²⁾:

Pole elektromagnetyczne. EIRP poszczególnych anten zostało podane w pkt 12, tj.

Lp.	Równoważna moc promieniowana izotropowo (EIRP) [W]
1.	5637
2.	11247/39811
3.	11777

Lp.	Równoważna moc promieniowana izotropowo (EIRP) [W]
4.	15
5.	5637/39811
6.	11247/39811
7.	11247
8.	39811
9.	5637/6310
10.	3640/4266

12. Szczegółowe dane, odpowiednio do rodzaju instalacji, zgodne z wymaganiami określonymi w załączniku nr 2 do Rozporządzenia:

Lp.	1)	2)	3)	4)	5)	
	Współrzędne geograficzne	Częstotliwość lub zakresy częstotliwości pracy instalacji [MHz]	Wysokość środka elektrycznego anteny [m n.p.t]	Równoważna moc promieniowana izotropowo (EIRP) [W]	Azymut [°]	Kąt pochylenia lub zakresy kątów pochylenia [°]
1.	19°50'39.7" 51°44'22.2"	23000	47.3	5637	48*	nd.
2.	19°50'39.9" 51°44'22.1"	23000/80000	46.5	11247/39811	73*	nd.
3.	19°50'39.9" 51°44'22.1"	18000	83	11777	102*	nd.
4.	19°50'39.9" 51°44'22.1"	38000	84.5	15	197*	nd.
5.	19°50'39.9" 51°44'22.1"	23000/80000	48	5637/39811	219*	nd.
6.	19°50'39.7" 51°44'22.1"	23000/80000	48.5	11247/39811	267*	nd.
7.	19°50'39.5" 51°44'22.2"	23000	52.5	11247	314*	nd.
8.	19°50'39.5" 51°44'22.2"	80000	52.5	39811	314*	nd.
9.	19°50'39.5" 51°44'22.2"	23000/80000	51.4	5637/6310	318*	nd.
10.	19°50'39.6" 51°44'22.2"	23000/80000	48	3640/4266	347*	nd.

*) tolerancja azymutu od -10° do + 10°.

Informuję, iż dokonane zmiany w zakresie wielkości i rodzaju emisji przedmiotowej instalacji nie powodują zmiany instalacji w sposób istotny zgodnie z art. 3 pkt 7 ustawy Poś.

W załączniku przesyłam:

1. Pełnomocnictwo
2. Kopia potwierdzenia wniesienia opłaty skarbowej.
3. Sprawozdanie z pomiarów pól elektromagnetycznych wykonanych dla celów ochrony środowiska.

Otrzymują:

1. a/a
2. adresat



Signed by /
Podpisano przez:

Paulina Ciesielska

Date / Data: 2026-
04-17 11:54



NetWorks Sp. z o.o.
Laboratorium Badań Środowiskowych
ul. Józefa Piusa Dziekońskiego 3
00-728 Warszawa
e-mail: Laboratorium@networks.pl



AB 419

S P R A W O Z D A N I E 2964/2026/OS
Z POMIARÓW PÓL ELEKTROMAGNETYCZNYCH
WYKONANYCH DLA POTRZEB OCHRONY ŚRODOWISKA

Badany obiekt: Instalacja radiokomunikacyjna T-Mobile Polska S.A.
Numer i nazwa: 28012 (90020N!) WLD_KOLUSZKI_11LISTOPADA65
Adres: KOLUSZKI, 11 LISTOPADA 65, Powiat łódzki wschodni, WOJ. ŁÓDZKIE

Data wykonania pomiarów: 2026-04-14

Sprawozdanie z badań bez pisemnej zgody laboratorium nie może być powielane inaczej niż w całości.
Wynik przedstawione w niniejszym sprawozdaniu odnoszą się wyłącznie do badanego obiektu i do warunków i konfiguracji urządzeń w dniu wykonywania pomiarów.

1. Właściciel badanego obiektu:

T-Mobile Polska S.A., ul. Marynarska 12, 02-674 Warszawa

2. Zleceniodawca:

T-Mobile Polska S.A., ul. Marynarska 12, 02-674 Warszawa

3. Przedstawiciel zleceniodawcy:

NetWorks Sp. z o.o.

4. Zakres zlecenia:

Wykonanie badania i opracowanie sprawozdania z pomiarów natężenia pola elektrycznego i pola magnetycznego dla instalacji radiokomunikacyjnej T-Mobile Polska S.A. zlokalizowanej w miejscowości KOLUSZKI, 11 LISTOPADA 65.

5. Cel zlecenia:

Wykonanie pomiarów pól elektromagnetycznych w otoczeniu instalacji radiokomunikacyjnej 28012 (90020N!) WLD_KOLUSZKI_11LISTOPADA65 w odniesieniu do wymagań określonych w *Rozporządzeniu Ministra Klimatu z dnia 17 lutego 2020 r. w sprawie sposobów sprawdzania dotrzymania dopuszczalnych poziomów pól elektromagnetycznych w środowisku (Dz.U. 2022 poz. 2630)*.

6. Pomiary zostały wykonane przez:

Duszczuk Michał
Stolarczyk Michał

7. Informacje o źródłach pól elektromagnetycznych

7.1. Sposób identyfikacji badanych źródeł pól elektromagnetycznych

Identyfikacji źródeł i parametrów technicznych dokonano na podstawie analizy dokumentacji dotyczącej zlecenia oraz obserwacji miejsca wykonywania badań.

7.2. Opis miejsca zainstalowania anten i urządzeń technicznych. Opis obiektu badań i jego otoczenia

Instalacja radiokomunikacyjna zlokalizowana jest na terenie nieogrodzonym. Anteny zawieszono na kominie. Urządzenia sterujące oraz zasilające zainstalowano w kontenerze u podstawy komina. Wokół instalacji znajdują się tereny przemysłowe.

Instalacja radiokomunikacyjna jest obiektem bezobsługowym. Okresowe stanowiska pracy związane są z prowadzonymi w zależności od potrzeb konserwacjami, przeglądami, strojeniem i naprawami.

7.3. Parametry techniczne źródła pola elektromagnetycznego

Dane przedstawiające maksymalne parametry pracy instalacji przekazane przez zleceniodawcę:

Parametry radiolinii:

Charakterystyka promieniowania		kierunkowa					
Rzeczywisty czas pracy [h/dobę]		24					
Warunki pracy		znamionowe					
Rodzaj wytwarzanego pola		stacjonarne					
Lp.	Linia radiowa			Antena			
	Typ/ Producent	Częstotliwość pracy [GHz]	Równoważna moc promienlowana izotropowo (EIRP) [W]	Typ/ producent	Średnica anten [m]	Azymut [°]	Wysokość zainstalowania n.p.t [m]
1.	RTN XMC-5D 23G 28MHz XPIC Huawei	23	5637	A23D80S06 Huawei	0.6	48	47.3
2.	RTN XMC-5D Pro 23G 56MHz XPIC/RTN 380AXH 70/80GHz 250MHz Huawei	23/80	11247/39811	A23D80S06 Huawei	0.6	73	46.5
3.	NP ERICSSON ML 6363 18GHz 2x56MHz XPIC Ericsson	18	11777	ANT2_1.2 18 HPX Ericsson	1.2	102	83
4.	NEC IPasolink 100E	38	15	VHLP1-38 Andrew	0.3	197	84.5
5.	RTN XMC-5D Pro 23G 28MHz XPIC LPWR/RTN 380AXH 70/80GHz 500MHz Huawei	23/80	5637/39811	A23D80S06 Huawei	0.6	219	48
6.	RTN XMC-5D Pro 23G 28MHz XPIC/RTN 380AXH 70/80GHz 250MHz Huawei	23/80	11247/39811	A23D80S06 Huawei	0.6	267	48.5
7.	RTN XMC-5D Pro 23G 28MHz XPIC Huawei	23	11247	A23D80S06 Huawei	0.6	314	52.5
8.	RTN 380AXH 70/80GHz 250MHz Huawei	80	39811	A23D80S06 Huawei	0.6	314	52.5

Sprawozdanie z badań bez pisemnej zgody laboratorium nie może być powielane inaczej niż w całości.

Wynik przedstawione w niniejszym sprawozdaniu odnoszą się wyłącznie do badanego obiektu i do warunków i konfiguracji urządzeń w dniu wykonywania pomiarów.

Charakterystyka promieniowania			kierunkowa				
Rzeczywisty czas pracy [h/dobę]			24				
Warunki pracy			znamionowe				
Rodzaj wytwarzanego pola			stacjonarne				
Lp.	Linia radiowa			Antena			
	Typ/ Producent	Częstotliwość pracy [GHz]	Równoważna moc promieniowana izotropowo (EIRP) [W]	Typ/ producent	Średnica anteny [m]	Azymut [°]	Wysokość zainstalowania n.p.t [m]
9.	RTN XMC-5D 23G 28MHz XPIC/RTN 380AX DC 70/80GHz 250MHz Huawei	23/80	5637/6310	A23D80S06 Huawei	0.6	318	51.4
10.	NP ERICSSON RAU2X 23GHZ 2x28MHz XPIC/NP ERICSSON ML 6352 R2+ 70/80GHz 500MHz Ericsson	23/80	3640/4266	ANT2/2_0.6 23/80 HPX/HP Ericsson	0.6	347	48

7.4 Inne źródła pól elektromagnetycznych

Na podstawie informacji otrzymanych od użytkownika oraz obserwacji otoczenia miejsca wykonywania pomiarów stwierdzono występowanie innych źródeł pola-EM, pracujących w systemach: telefonii komórkowej (800MHz-3800MHz), które istotnie wpływają na wyniki pomiarów. Zidentyfikowano również źródła pola-EM: linii radiowych (5GHz-90GHz), które nie wpływają istotnie na wyniki pomiarów.

8. Opis pomiarów

8.1. Metoda badań

Zgodna z rozporządzeniem Ministra Klimatu z dnia 17 lutego 2020 r. w sprawie sposobów sprawdzania dotrzymania dopuszczalnych poziomów pól elektromagnetycznych w środowisku (Dz.U. 2022 poz. 2630), określona w pkt 25 ppkt 1 załącznika do niniejszego rozporządzenia.

8.2. Termin pomiarów i warunki środowiskowe

Podczas wykonywania pomiarów pól elektromagnetycznych nie występowały opady atmosferyczne. Wyniki pomiaru parametrów pogodowych przedstawia poniższa tabela:

Data [rrrr-mm-dd]	Godzina [hh:mm-hh:mm]	Warunki środowiskowe			
		Temperatura [°C]		Wilgotność względna [%]	
2026-04-14	10:40-11:50	Przed pomiarem	Po pomiarach	Przed pomiarem	Po pomiarach
		10.9	10.7	51.8	52.0

Przedstawione wyżej warunki środowiskowe, występujące podczas wykonywania pomiarów pól elektromagnetycznych, są zgodne ze specyfikacją techniczną użytego zestawu pomiarowego.

8.3. Warunki pracy urządzeń nadawczych

Podczas pomiarów w przypadku uzyskania wyniku pomiaru szerokopasmowego wykonanego zastosowaną metodą, dla zakresów częstotliwości od 10 MHz do 300 GHz, powiększonego o rozszerzoną niepewność pomiaru U dla współczynnika rozszerzenia $k = 2$ przekraczającego 70% najniższej dopuszczalnej wartości składowej elektrycznej lub magnetycznej pola dla objętych pomiarami zakresów częstotliwości, uwzględnia się poprawki pomiarowe przekazane przez zleceniodawcę, umożliwiające uwzględnienie maksymalnych parametrów pracy instalacji zgodnie z pkt 7 załącznika do Rozporządzeniem Ministra Klimatu z dnia 17 lutego 2020 r. w sprawie sposobów sprawdzania dotrzymania dopuszczalnych poziomów pól elektromagnetycznych w środowisku (Dz. U. 2022, poz. 2630) zaznaczając, że wymagane jest

Sprawozdanie z badań bez pisemnej zgody laboratorium nie może być powielane inaczej niż w całości.

Wynik przedstawione w niniejszym sprawozdaniu odnoszą się wyłącznie do badanego obiektu i do warunków i konfiguracji urządzeń w dniu wykonywania pomiarów.

wykonanie pomiaru z wykorzystaniem miernika selektywnego. W przypadku uzyskania wyniku pomiaru szerokopasmowego wykonanego zastosowaną metodą, dla zakresów częstotliwości od 10 MHz do 300 GHz, powiększonego o rozszerzoną niepewność pomiaru U dla współczynnika rozszerzenia $k = 2$ nieprzekraczającego 70% najniższej dopuszczalnej wartości składowej elektrycznej lub magnetycznej pola dla objętych pomiarami zakresów częstotliwości, nie uwzględnia się poprawek pomiarowych.

8.4. Wyposażenie pomiarowe

Zestaw pomiarowy służący do pomiaru natężenia składowej elektrycznej pola elektromagnetycznego złożony z szerokopasmowego miernika i sondy pomiarowej:

Oznaczenie miernika	Producent	Model	Numer fabryczny	Oznaczenie sondy	Producent	Model	Numer fabryczny
MF-07	Narda Safety Test Solution	Miernik pól elektromagnetycznych Narda FieldMan	C-0170	SF-13	Narda Safety Test Solution	Sonda EFD-9091	A-0066

Mierniki natężenia pola elektromagnetycznego podlegają okresowemu sprawdzeniu zgodnie z procedurą wewnętrzną P-03 i PB-01. Świadectwo wzorcowania zestawu pomiarowego z dnia 2 grudnia 2024 o numerze LWIMP/W/418/24 wydane przez Politechnika Wrocławską. Data ważności świadectwa wzorcowania: 2 grudnia 2026 (zgodnie z procedurą wewnętrzną P-03).

Oznaczenie miernika	Producent	Model	Numer fabryczny	Oznaczenie sondy	Producent	Model	Numer fabryczny
MF-07	Narda Safety Test Solution	Miernik pól elektromagnetycznych Narda FieldMan	C-0170	SF-14	Narda Safety Test Solution	Sonda EFD-0691	A-0076

Mierniki natężenia pola elektromagnetycznego podlegają okresowemu sprawdzeniu zgodnie z procedurą wewnętrzną P-03 i PB-01. Świadectwo wzorcowania zestawu pomiarowego z dnia 19 lutego 2026 o numerze LWIMP/W/079/26 wydane przez Politechnika Wrocławską. Data ważności świadectwa wzorcowania: 18 lutego 2028 (zgodnie z procedurą wewnętrzną P-03).

Termohigrometr:

Oznaczenie:	TH-36	Producent:	TESTO	Model:	Termohigrometr TESTO 625
-------------	-------	------------	-------	--------	--------------------------

Data ważności świadectwa wzorcowania: 20 lutego 2028 (zgodnie z procedurą wewnętrzną P-03).

Dalmierz:

Oznaczenie	Producent	Typ	Numer seryjny	Nr świadectwa wzorcowania	Data świadectwa wzorcowania
D-21	Leica	Dalmierz Leica Disto D510	1030440462	Z3- Z32.4180.152.2023.3253.4	23 października 2023

Data ważności świadectwa wzorcowania: 23 października 2033 (zgodnie z procedurą wewnętrzną P-03).

Odbiornik GNSS:

Odbiornik GNSS wbudowany w miernik natężenia pola elektromagnetycznego użyty podczas pomiarów	Producent	Model
	UBlox	NEO-M8T

Odbiorniki podlegają okresowemu sprawdzeniu zgodnie z procedurą wewnętrzną P-03.

Sprawozdanie z badań bez pisemnej zgody laboratorium nie może być powielane inaczej niż w całości.
Wynik przedstawione w niniejszym sprawozdaniu odnoszą się wyłącznie do badanego obiektu i do warunków i konfiguracji urządzeń w dniu wykonywania pomiarów.

9. Wyniki pomiarów

Pole elektryczne

Nr pionu	Opis umiejscowienia pionu (punktu) pomiarowego	Wysokość pomiaru [m]	Zmierzona wartość natężenia pola elektrycznego E [V/m] ^{1,5}			Wartość natężenia pola elektrycznego powiększona o niepewność pomiaru ⁴ E [V/m]	Wskaźnikowa wartość poziomu emisji pól elektromagnetycznych WMe ³	Współrzędne geograficzne pionu (punktu) pomiarowego ²
			Sonda SF-13	Sonda SF-14	Wartość			
1	GKP w odległości poziomej 10m od anteny radioliniowej az. 48°	0.3-2.0	<1.0*	<1.0*	<1.0*	1.3	0.05	51°44'22.6" 19°50'40.2"
2	GKP w odległości poziomej 55m od anteny radioliniowej az. 48°	0.3-2.0	<1.0*	<1.0*	<1.0*	1.3	0.05	51°44'23.3" 19°50'42.0"
3	GKP w odległości poziomej 12m od anteny radioliniowej az. 73°	2.0	1.4	1.4	1.4	1.8	0.07	51°44'22.2" 19°50'40.6"
4	GKP w odległości poziomej 62m od anteny radioliniowej az. 73°	2.0	1.5	1.5	1.5	2	0.07	51°44'22.6" 19°50'43.1"
5	GKP w odległości poziomej 21m od anteny radioliniowej az. 102°	2.0	1.2	1.2	1.2	1.6	0.06	51°44'21.8" 19°50'40.9"
6	GKP w odległości poziomej 71m od anteny radioliniowej az. 102°	0.3-2.0	<1.0*	<1.0*	<1.0*	1.3	0.05	51°44'21.5" 19°50'43.4"
7	PKP na az. 126° w odległości poziomej 21m od anteny radioliniowej az. 102°	0.3-2.0	<1.0*	<1.0*	<1.0*	1.3	0.05	51°44'21.8" 19°50'40.6"
8	PKP na az. 126° w odległości poziomej 61m od anteny radioliniowej az. 102°	2.0	1.3	1.3	1.3	1.7	0.06	51°44'20.8" 19°50'42.4"
9	GKP w odległości poziomej 25m od anteny radioliniowej az. 197°	2.0	1.2	1.2	1.2	1.6	0.06	51°44'21.5" 19°50'39.5"
10	GKP w odległości poziomej 68m od anteny radioliniowej az. 197°	0.3-2.0	<1.0*	<1.0*	<1.0*	1.3	0.05	51°44'20.0" 19°50'38.8"

Sprawozdanie z badań bez pisemnej zgody laboratorium nie może być powielane inaczej niż w całości.
 Wynik przedstawione w niniejszym sprawozdaniu odnoszą się wyłącznie do badanego obiektu i do warunków i konfiguracji urządzeń w dniu wykonywania pomiarów.

11	GKP w odległości poziomej 15m od anteny radioliniowej az. 219°	0.3-2.0	<1.0*	<1.0*	<1.0*	1.3	0.05	51°44'21.8" 19°50'39.5"
12	GKP w odległości poziomej 54m od anteny radioliniowej az. 219°	0.3-2.0	<1.0*	<1.0*	<1.0*	1.3	0.05	51°44'20.8" 19°50'38.0"
13	GKP w odległości poziomej 17m od anteny radioliniowej az. 267°	0.3-2.0	<1.0*	<1.0*	<1.0*	1.3	0.05	51°44'22.2" 19°50'38.8"
14	GKP w odległości poziomej 56m od anteny radioliniowej az. 267°	0.3-2.0	<1.0*	<1.0*	<1.0*	1.3	0.05	51°44'22.2" 19°50'37.0"
15	GKP w odległości poziomej 15m od anten radioliniowych az. 314° i 318°	0.3-2.0	<1.0*	<1.0*	<1.0*	1.3	0.05	51°44'22.6" 19°50'39.1"
16	GKP w odległości poziomej 48m od anten radioliniowych az. 314° i 318°	2.0	1.3	1.3	1.3	1.7	0.06	51°44'23.3" 19°50'37.7"
17	GKP w odległości poziomej 23m od anteny radioliniowej az. 347°	2.0	1.2	1.2	1.2	1.6	0.06	51°44'22.9" 19°50'39.5"
18	GKP w odległości poziomej 58m od anteny radioliniowej az. 347°	0.3-2.0	<1.0*	<1.0*	<1.0*	1.3	0.05	51°44'24.0" 19°50'38.8"
19	PKP na az. 169° w odległości poziomej 38m od anteny radioliniowej az. 197°	2.0	1.3	1.3	1.3	1.7	0.06	51°44'20.8" 19°50'40.2"

Sprawozdanie z badań bez pisemnej zgody laboratorium nie może być powielane inaczej niż w całości.
 Wynik przedstawione w niniejszym sprawozdaniu odnoszą się wyłącznie do badanego obiektu i do warunków i konfiguracji urządzeń w dniu wykonywania pomiarów.

Pole magnetyczne (wyznaczone na podstawie pomiaru wartości natężenia pola elektrycznego)

Nr pionu	Opis umiejscowienia pionu (punktu) pomiarowego	Wysokość pomiaru [m]	Wartość natężenia pola magnetycznego H [A/m] ¹			Wartość natężenia pola magnetycznego powiększona o niepewność pomiaru ⁴ H [A/m]	Wskaźnikowa wartość poziomu emisji pól elektromagnetycznych WM _H ³	Współrzędne geograficzne pionu (punktu) pomiarowego ²
			Sonda SF-13	Sonda SF-14	Wartość			
1	GKP w odległości poziomej 10m od anteny radioliniowej az. 48°	0.3-2.0	<0.003*	<0.003*	<0.003*	0.003	0.05	51°44'22.6" 19°50'40.2"
2	GKP w odległości poziomej 55m od anteny radioliniowej az. 48°	0.3-2.0	<0.003*	<0.003*	<0.003*	0.003	0.05	51°44'23.3" 19°50'42.0"
3	GKP w odległości poziomej 12m od anteny radioliniowej az. 73°	2.0	0.004	0.004	0.004	0.005	0.07	51°44'22.2" 19°50'40.6"
4	GKP w odległości poziomej 62m od anteny radioliniowej az. 73°	2.0	0.004	0.004	0.004	0.005	0.07	51°44'22.6" 19°50'43.1"
5	GKP w odległości poziomej 21m od anteny radioliniowej az. 102°	2.0	0.003	0.003	0.003	0.004	0.06	51°44'21.8" 19°50'40.9"
6	GKP w odległości poziomej 71m od anteny radioliniowej az. 102°	0.3-2.0	<0.003*	<0.003*	<0.003*	0.003	0.05	51°44'21.5" 19°50'43.4"
7	PKP na az. 126° w odległości poziomej 21m od anteny radioliniowej az. 102°	0.3-2.0	<0.003*	<0.003*	<0.003*	0.003	0.05	51°44'21.8" 19°50'40.6"
8	PKP na az. 126° w odległości poziomej 61m od anteny radioliniowej az. 102°	2.0	0.003	0.003	0.003	0.005	0.06	51°44'20.8" 19°50'42.4"
9	GKP w odległości poziomej 25m od anteny radioliniowej az. 197°	2.0	0.003	0.003	0.003	0.004	0.06	51°44'21.5" 19°50'39.5"
10	GKP w odległości poziomej 68m od anteny radioliniowej az. 197°	0.3-2.0	<0.003*	<0.003*	<0.003*	0.003	0.05	51°44'20.0" 19°50'38.8"
11	GKP w odległości poziomej 15m od anteny radioliniowej az. 219°	0.3-2.0	<0.003*	<0.003*	<0.003*	0.003	0.05	51°44'21.8" 19°50'39.5"

Sprawozdanie z badań bez pisemnej zgody laboratorium nie może być powielane inaczej niż w całości.

Wynik przedstawione w niniejszym sprawozdaniu odnoszą się wyłącznie do badanego obiektu i do warunków i konfiguracji urządzeń w dniu wykonywania pomiarów.

12	GKP w odległości poziomej 54m od anteny radioliniowej az. 219°	0.3-2.0	<0.003*	<0.003*	<0.003*	0.003	0.05	51°44'20.8" 19°50'38.0"
13	GKP w odległości poziomej 17m od anteny radioliniowej az. 267°	0.3-2.0	<0.003*	<0.003*	<0.003*	0.003	0.05	51°44'22.2" 19°50'38.8"
14	GKP w odległości poziomej 56m od anteny radioliniowej az. 267°	0.3-2.0	<0.003*	<0.003*	<0.003*	0.003	0.05	51°44'22.2" 19°50'37.0"
15	GKP w odległości poziomej 15m od anten radioliniowych az. 314° i 318°	0.3-2.0	<0.003*	<0.003*	<0.003*	0.003	0.05	51°44'22.6" 19°50'39.1"
16	GKP w odległości poziomej 48m od anten radioliniowych az. 314° i 318°	2.0	0.003	0.003	0.003	0.005	0.06	51°44'23.3" 19°50'37.7"
17	GKP w odległości poziomej 23m od anteny radioliniowej az. 347°	2.0	0.003	0.003	0.003	0.004	0.06	51°44'22.9" 19°50'39.5"
18	GKP w odległości poziomej 58m od anteny radioliniowej az. 347°	0.3-2.0	<0.003*	<0.003*	<0.003*	0.003	0.05	51°44'24.0" 19°50'38.8"
19	PKP na az. 169° w odległości poziomej 38m od anteny radioliniowej az. 197°	2.0	0.003	0.003	0.003	0.005	0.06	51°44'20.8" 19°50'40.2"

GKP – Główny Kierunek Pomiarowy

PKP – Pomocniczy Kierunek Pomiarowy

¹ wyniki oznaczone * są wynikami poniżej czułości zestawu pomiarowego i są wynikami spoza zakresu akredytacji. Do obliczenia wyniku skorygowanego przyjęto wartość skorelowaną z rzeczywistym wynikiem pomiaru - dolną granicę akredytowanego zakresu pomiarowego metody

² współrzędne geograficzne pozyskane metodą pomiaru bezpośredniego

³ do wyznaczenia wartości wskaźnikowej W_{ME} i W_{MH} przyjęto na podstawie uzgodnień z klientem oraz rozpoznania źródeł, jako wartości dopuszczalne pola elektrycznego i magnetycznego odpowiednio 28 V/m i 0,073 A/m.

⁴ do wyznaczenia niepewności dla wyników poniżej czułości zestawu pomiarowego, przyjęto niepewność dla minimalnej wartości z zakresu pomiarowego.

⁵ maksymalna wartość chwilowa

Niepewność oszacowano zgodnie z dokumentem P-03 „Procedura nadzoru nad wyposażeniem” w postaci niepewności rozszerzonej wynikającej z niepewności standardowej pomnożonej przez współczynnik rozszerzenia $k=2$.

Całkowita szacowana niepewność rozszerzona składowej E wynosi odpowiednio:

sonda SF-13: 30.8% dla częstotliwości do 4 GHz, sonda SF-14: 25% dla częstotliwości do 4 GHz

Pomiar wykonany metodą 2 sond, opisaną w artykule Medycyna Pracy 2015;66(5):701-712 „Optymalizacja metodyki pomiaru wieloczęstotliwościowego pola elektromagnetycznego stacji bazowych telefonii komórkowej”.

Umieszczenie pionów (punktów) pomiarowych przedstawiono w załączniku nr 2 do niniejszego sprawozdania.

W obszarze pomiarowym, w którym na podstawie uprzednio przeprowadzonych obliczeń, stwierdzono występowanie w danych zakresach częstotliwości pól elektromagnetycznych o poziomach zbliżonych do poziomów dopuszczalnych, określonych w przepisach wydanych na podstawie art. 122 ust. 1 ustawy z dnia 27 kwietnia 2001 r. – Prawo ochrony środowiska nie stwierdzono występowania zabudowy mieszkalnej.

Sprawozdanie z badań bez pisemnej zgody laboratorium nie może być powielane inaczej niż w całości.

Wynik przedstawione w niniejszym sprawozdaniu odnoszą się wyłącznie do badanego obiektu i do warunków i konfiguracji urządzeń w dniu wykonywania pomiarów.

10. Omówienie wyników pomiarów

W związku z tym, że żadna z wartości zmierzonych, udokumentowanych w tabelach w pkt. 9, uzyskanych w skutek zastosowania pomiaru szerokopasmowego, powiększonego o rozszerzoną niepewność pomiaru U dla współczynnika rozszerzenia $k = 2$ nie przekroczyła 70% najniższej dopuszczalnej wartości składowej elektrycznej lub magnetycznej pola dla objętych pomiarami zakresów częstotliwości, nie uwzględnia się poprawek pomiarowych.

W wyniku zastosowania sposobu sprawdzenia dotrzymania dopuszczalnych poziomów pól elektromagnetycznych w środowisku, zgodnie pkt 25 ppkt 1 Rozporządzenia Ministra Klimatu z dnia 17 lutego 2020 r. (Dz. U. 2022, poz. 2630), w związku z tym, że żadna z wartości wskaźnikowych, udokumentowanych w tabelach w pkt. 9 nie przekracza wartości 1, stwierdza się, że w miejscach, w których wykonano pomiary w otoczeniu instalacji radiokomunikacyjnej 28012 (90020N!) WLD_KOLUSZKI_11LISTOPADA65, dopuszczalne poziomy pól elektromagnetycznych w środowisku należy uznać za dotrzymane.

11. Podstawa prawna

- 1) Ustawa z dnia 27 kwietnia 2001 r. Prawo ochrony środowiska (T. j. Dz. U. z 2025 r., poz. 647 z późn. zm.)
- 2) Rozporządzenie Ministra Zdrowia z dnia 17 grudnia 2019 r. w sprawie dopuszczalnych poziomów pól elektromagnetycznych w środowisku (Dz. U. 2019, poz. 2448)
- 3) Rozporządzenie Ministra Klimatu z dnia 17 lutego 2020 r. w sprawie sposobów sprawdzania dotrzymania dopuszczalnych poziomów pól elektromagnetycznych w środowisku (Dz. U. 2022, poz. 2630),
- 4) Akredytacja nr AB 419 wydana przez Polskie Centrum Akredytacji (wydanie 24, z dnia 14 stycznia 2026r.)

12. Spis załączników

- Załącznik 1. Lokalizacja obiektu badań
- Załącznik 2. Usytuowanie pionów (punktów) pomiarowych
- Załącznik 3. Dokumentacja fotograficzna obiektu badań

13. Data wydania i autoryzowania sprawozdania

Obliczenia i sprawozdanie wykonał :

Sprawozdanie autoryzował:

Adrianna
Wiatrowska

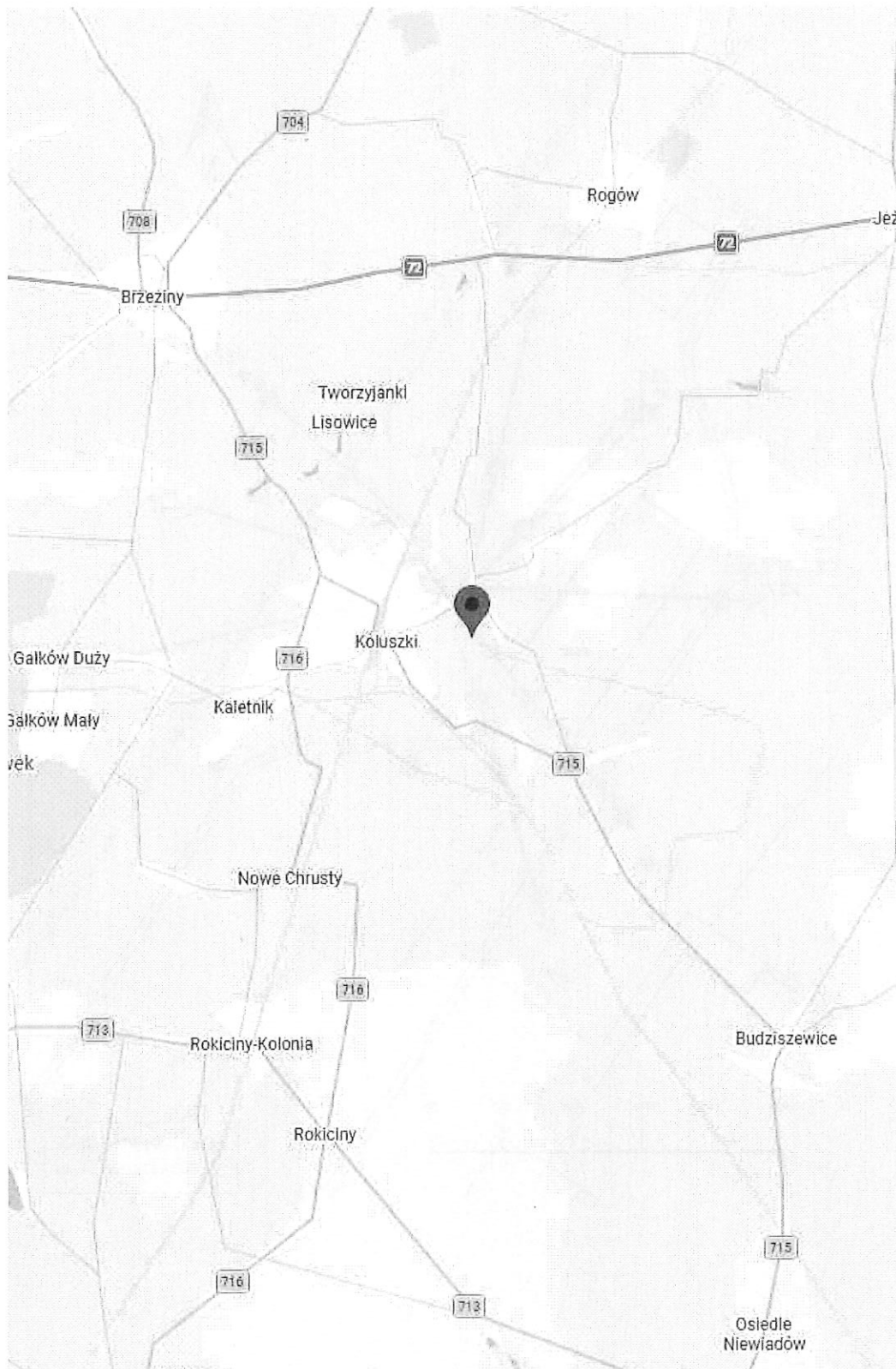
Elektronicznie podpisany przez
Adrianna Wiatrowska
Data: 2026.04.16 09:35:45
+02'00'

BARBARA
STELMASZYK

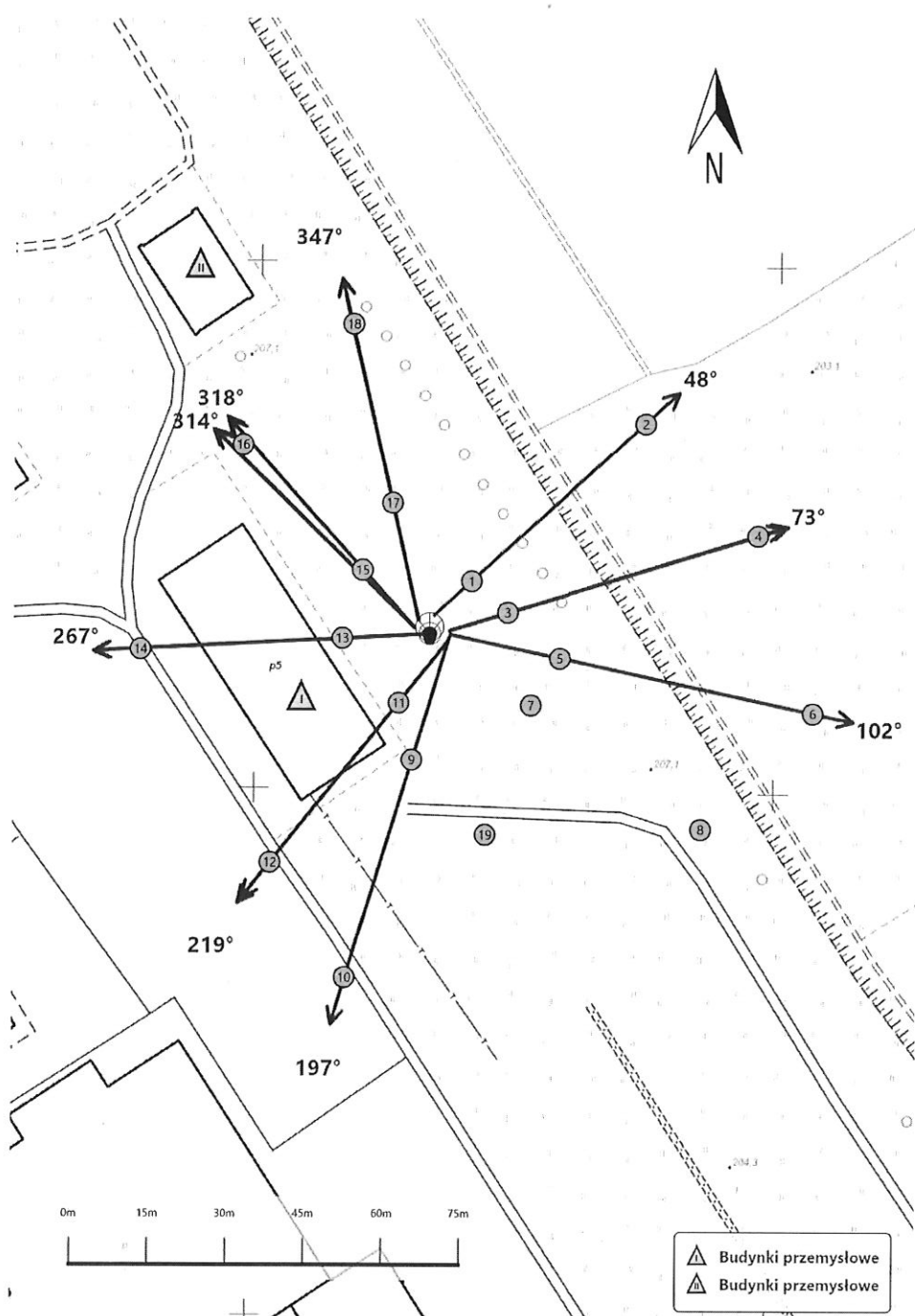
Elektronicznie podpisany
przez BARBARA STELMASZYK
Data: 2026.04.16 10:24:29
+02'00'






Koniec sprawozdania

Sprawozdanie z badań bez pisemnej zgody laboratorium nie może być powielane inaczej niż w całości.
Wynik przedstawione w niniejszym sprawozdaniu odnoszą się wyłącznie do badanego obiektu i do warunków i konfiguracji urządzeń w dniu wykonywania pomiarów.



Załącznik nr 1	Instalacja radiokomunikacyjna T-Mobile Polska S.A. 28012 (90020N!) WLD_KOLUSZKI_11LISTOPADA65 Lokalizacja instalacji
----------------	--



Załącznik nr 2	Instalacja radiokomunikacyjna T-Mobile Polska S.A. WLD_KOLUSZKI_11LISTOPADA65 (90020N!) Usytuowanie pionów pomiarowych w otoczeniu instalacji radiokomunikacyjnej
	Legenda:  Źródło pola elektromagnetycznego  Brak dostępu  Pion pomiarowy  Kierunek oddziaływania anten sektorowych  Kierunek oddziaływania anten radioliniowych



Załącznik nr 3

Instalacja radiokomunikacyjna T-Mobile Polska S.A.
28012 (90020N!) WLD_KOLUSZKI_11LISTOPADA65
Dokumentacja fotograficzna

